

УДК 550.42

**НИЗКОБАРИЧЕСКОЕ ВЫСОКОТЕМПЕРАТУРНОЕ ПЛАВЛЕНИЕ МЕРГЕЛИСТОГО ИЗВЕСТНЯКА ИЗ ПИРОМЕТАМОРФИЧЕСКОГО КОМПЛЕКСА МОНГОЛИИ (ПЕРВЫЕ РЕЗУЛЬТАТЫ)**

Чевычелов В.Ю.<sup>1</sup>, Котельников А.Р.<sup>1</sup>, Перетяжко И.С.<sup>2</sup>, Вирюс А.А.<sup>1</sup>, Сук Н.И.<sup>1</sup>, Савина Е.А.<sup>2</sup>  
<sup>1</sup>ИЭМ РАН, Черноголовка, Московская область; <sup>2</sup>ИГХ СО РАН, г. Иркутск ([chev@iem.ac.ru](mailto:chev@iem.ac.ru))

**LOW-PRESSURE HIGH-TEMPERATURE MELTING OF MARLY LIMESTONE FROM THE PYROMETAMORPHIC COMPLEX OF MONGOLIA (FIRST RESULTS)**

Chevychelov V. Yu.<sup>1</sup>, Kotelnikov A.R.<sup>1</sup>, Peretyazhko I.S.<sup>2</sup>, Viryus A.A.<sup>1</sup>, Suk N.I.<sup>1</sup>, Savina E.A.<sup>2</sup>  
<sup>1</sup>IEM RAS, Chernogolovka, Moscow district; <sup>2</sup>IGC SB RAS, Irkutsk ([chev@iem.ac.ru](mailto:chev@iem.ac.ru))

**Abstract.** The experiments were carried out at  $T = 1300^\circ\text{C}$ ,  $P = 10\text{-}12 \text{ MPa}$ , and an increased partial pressure of  $\text{CO}_2$ . Our task was to determine the conditions for the formation of melilite-nepheline paralava and carbonate melt formed as a result of the melting of limestone containing 40 wt.% of pelitic material. Chemical composition of the rock used in the experiments (wt.%): 16.3  $\text{SiO}_2$ , 0.3  $\text{TiO}_2$ , 9.1  $\text{Al}_2\text{O}_3$ , 0.8  $\text{Fe}_2\text{O}_3$ , 0.4  $\text{FeO}$ , 0.1  $\text{MnO}$ , 1.9  $\text{MgO}$ , 39.9  $\text{CaO}$ , 2.6  $\text{Na}_2\text{O}$ , 0.3  $\text{K}_2\text{O}$ , 0.2  $\text{P}_2\text{O}_5$ , 26.2  $\text{CO}_2$ , 1.5  $\text{H}_2\text{O}^+$ , 0.5  $\text{H}_2\text{O}^-$ , 0.2  $\text{S}_{\text{tot}}$ , 0.2  $\text{SrO}$ , 100.6  $\Sigma$ .

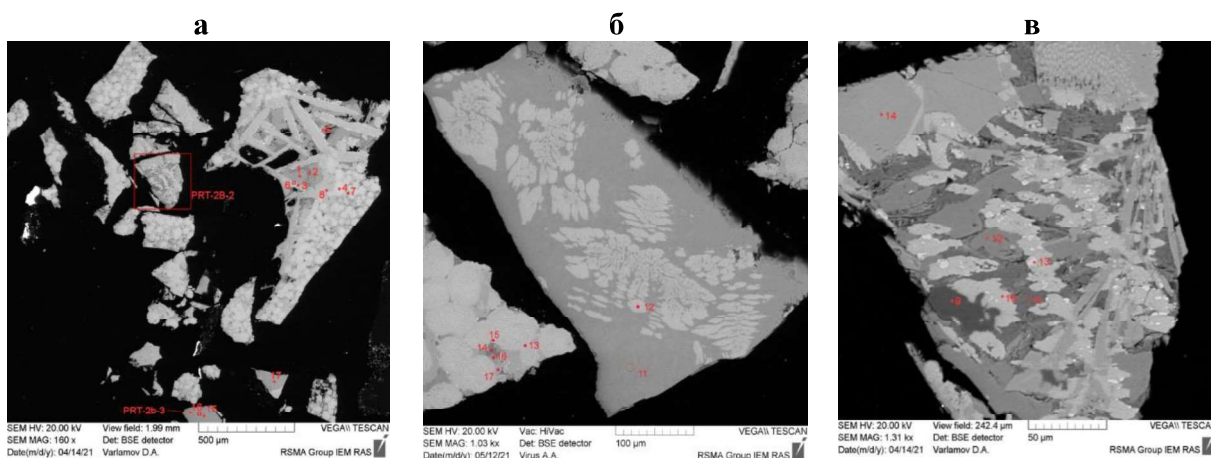
The first results show the presence of the following phases in the run products (microprobe analysis, wt.%): (?) larnite  $\text{Ca}_2\text{SiO}_4$  - 64.1-65.0  $\text{CaO}$ , 25.5-31.4  $\text{SiO}_2$ , 1.8-2.8  $\text{Na}_2\text{O}$ , 0.7-2.0  $\text{MgO}$ , 0.3-1.1  $\text{TiO}_2$ , 96.8-101.3  $\Sigma$ ; (?) helenite  $\text{Ca}_2\text{Al}_2\text{SiO}_7$  - 43.2-45.2  $\text{CaO}$ , 35.5-40.6  $\text{Al}_2\text{O}_3$ , 14.5-19.6  $\text{SiO}_2$ , 0.5-1.1  $\text{MgO}$ , 99.6-103.2  $\Sigma$ ; calcite  $\text{Ca}(\text{CO}_3)$  - 57.8-58.2  $\text{CaO}$ , 0.4-0.6  $\text{SrO}$ , 60.0-61.5  $\Sigma$  and quench products of two melts: alkaline-carbonate - 33.9-34.8  $\text{CaO}$ , 11.6-12.2  $\text{Na}_2\text{O}$ , 3.7-3.9  $\text{K}_2\text{O}$ , 1.8-4.1  $\text{SO}_3$ , 53.4-56.0  $\Sigma$  and carbonate-silicate - 43.3-48.4  $\text{CaO}$ , 13.7-14.9  $\text{SiO}_2$ , 9.4-10.9  $\text{Al}_2\text{O}_3$ , 2.6-3.6  $\text{Na}_2\text{O}$ , 2.3-2.9  $\text{MgO}$ , 0.4-0.8  $\text{TiO}_2$ , 0.3-0.6  $\text{K}_2\text{O}$ , 0-0.8  $\text{SrO}$ , 73.6-83.0  $\Sigma$ . The phases similar in composition were obtained in the experiment without increased  $\text{CO}_2$  pressure, excluding the carbonate-silicate melt.

**Keywords:** low-pressure, high-temperature, experiment, melting, marly limestone, melilite-nepheline paralava, carbonate melt, pelitic material

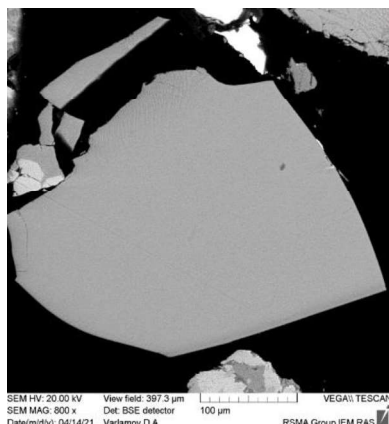
Представлены результаты низкобарических высокотемпературных экспериментов по плавлению мергелистого известняка из пирометаморфического комплекса Хамарин-Хурал-Хид при  $T=1300^\circ\text{C}$ ,  $P=10\text{-}12 \text{ MPa}$ . Такие комплексы в Монголии формировались в процессах пирогенного метаморфизма и частичного плавления карбонатно-силикатных осадочных пород, вызванных природными подземными угольными пожарами (Peretyazhko et al., 2017; Перетяжко и др., 2018; Савина и др., 2020; Peretyazhko et al., 2021). Задачей наших экспериментальных исследований являлось определение условий образования мелилит-нефелиновой паралавы и карбонатного расплава, формирующихся в результате инконгруэнтного плавления мергелистого известняка, содержащего около 40 мас. % пелитового материала. Химический состав, использованной в экспериментах карбонатно-силикатной породы MN-1423 (реликта мергелистого известняка, мас. %): 16.3  $\text{SiO}_2$ , 0.3  $\text{TiO}_2$ , 9.1  $\text{Al}_2\text{O}_3$ , 0.8  $\text{Fe}_2\text{O}_3$ , 0.4  $\text{FeO}$ , 0.1  $\text{MnO}$ , 1.9  $\text{MgO}$ , 39.9  $\text{CaO}$ , 2.6  $\text{Na}_2\text{O}$ , 0.3  $\text{K}_2\text{O}$ , 0.2  $\text{P}_2\text{O}_5$ , 26.2  $\text{CO}_2$ , 1.5  $\text{H}_2\text{O}^+$ , 0.5  $\text{H}_2\text{O}^-$ , 0.2  $\text{S}_{\text{tot}}$ , 0.2  $\text{SrO}$ , 100.6  $\Sigma$ .

Опыты были проведены в платиновых ампулах. В одну малую ампулу с наружным диаметром 4 мм, толщиной стенок 0.2 мм и длиной 18-20 мм помещали порошок исследуемой карбонатно-силикатной породы (20-50 мг), а в другую такую же ампулу загружали свежеприготовленный оксалат серебра  $\text{Ag}_2\text{C}_2\text{O}_4$  (30-40 мг), который синтезировали по реакции  $2\text{AgNO}_3 + \text{Na}_2\text{C}_2\text{O}_4 \rightarrow \text{Ag}_2\text{C}_2\text{O}_4 \downarrow + \text{NaNO}_3$  путем слиивания растворов солей и высушивания осадка. После этого обе малые ампулы пережимали на 2/3 длины, но не заваривали и помещали внутри большой ампулы (10 мм  $\times$  0.2 мм  $\times$  50 мм), которую затем заваривали. Собранный таким образом конструкцию их трех ампул выдерживали при  $120\text{-}130^\circ\text{C}$  в течение 2-4 часов для разложения оксалата серебра по реакции  $\text{Ag}_2\text{C}_2\text{O}_4 \rightarrow 2\text{Ag} + 2\text{CO}_2 \uparrow$ . Эксперименты были проведены на установке высокого газового давления с внутренним нагревом (IHPV), в которой давление внутри ампулы уравнивалось с наружным давлением на ампулу, задаваемым инертным газом аргоном. Для сравнения также был проведен опыт без оксалата серебра (т. е. без исходно повышенного парциального давления  $\text{CO}_2$  в системе). Длительность опытов была 6 часов. Условия закалки были близки к изохорическим (одновременное уменьшение температуры и давления).

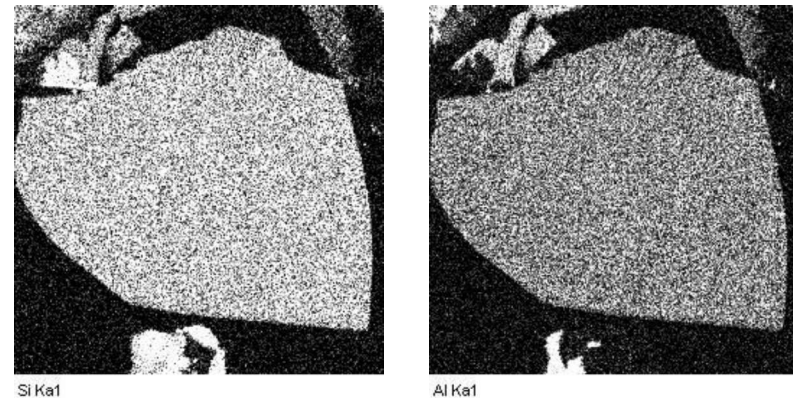
После опыта большая ампула была «раздута». Опыт вскрывали следующим образом: (1) ампулу взвешивали, затем ампулу замораживали в жидком азоте в течение 3 мин., потом прокалывали в ампуле несколько дырок и выдерживали 3 мин на воздухе для нагрева до комнатной температуры, при этом из ампулы через дырки удалялась избыточная газовая фаза (преимущественно  $\text{CO}_2$ ), ампулу взвешивали, (2) затем ампулу нагревали при  $100^\circ\text{C}$  в сушильном шкафу в течение 3 мин., при этом из ампулы через дырки удалялась жидккая фаза, потом ампулу выдерживали 3 мин на воздухе для охлаждения до комнатной температуры и взвешивали. При вскрытии опыта PRT-2b из ампулы выделилось 15.5 мг газовой и менее 0.5 мг жидкой фазы. Можно предположить, что 11.5 мг газовой фазы образовалось предварительно за счет разложения оксалата серебра при низкой температуре  $120\text{--}130^\circ\text{C}$ , а остальные 4 мг образовались в опыте при высокой температуре за счет разложения кальцита исследуемой породы. После опыта карбонатно-силикатная порода по бинокуляром представляла собой агрегат беловатых зерен и их обломков с разной степенью прозрачности и гомогенности. Эти полученные твердые продукты запрессовывали в полистирол и затем анализировали методом локального рентгеноспектрального анализа с использованием ЭДС.



**Рис. 1а, 1б, 1в.** Продукты опыта PRT-2b, система с  $\text{Ag}_2\text{C}_2\text{O}_4$ ,  $P_{\text{CO}_2} \approx 11.6$  МПа,  $T = 1300^\circ\text{C}$ ,  $P_{\text{to}} = 12.5$  МПа, длительность 6 часов. Изображение в обратно-рассеянных электронах (BSE).



**Рис. 2.** Закалочное карбонатно-силикатное стекло. Изображение в обратно-рассеянных электронах (BSE) и картирование по площади ( $\text{CaK}\alpha_1$ ,  $\text{SiK}\alpha_1$ ,  $\text{AlK}\alpha_1$ ). Продукты опыта PRT-2b.



В продуктах опыта были определены следующие фазы:

(?) ларнит  $\text{Ca}_2\text{SiO}_4$  (мас.%) – 62.0-65.6 CaO, 22.3-31.4 SiO<sub>2</sub>, 1.8-3.3 Na<sub>2</sub>O, 0.7-2.0 MgO, 0-2.4 Al<sub>2</sub>O<sub>3</sub>, 0-1.1 TiO<sub>2</sub>, 91.3-101.2 Σ. Светлые округлые (шарообразные) образования. По ним часто видна закалочная раскристаллизация (удлиненные, игольчатые кристаллы). Также выделяются отдельные призматические и удлиненные кристаллы (рис. 1а. 4; рис. 1б. 12, 13; рис. 1в. 10).

(?) геленит  $\text{Ca}_2\text{Al}_2\text{SiO}_7$  (мас.%) – 43.2-45.2 CaO, 35.5-40.6 Al<sub>2</sub>O<sub>3</sub>, 14.5-19.6 SiO<sub>2</sub>, 0-1.1 MgO, 98.8-103.2 Σ. Серая, более темная, чем ларнит фаза, вмещающая ларнит. Геленит также образует удлиненные, таблитчатые и скелетные, дендритовые кристаллы (рис. 1а. 3, 7, 8; рис. 1б. 17; рис. 1в. 14).

кальцит Ca(CO<sub>3</sub>) или продукты закаливания кальцитового расплава (мас.%) – 57.6-58.2 CaO, 0.5-0.6 SrO, 58.3-61.5 Σ, +CO<sub>2</sub>. Более светлая фаза среди щелочно-карбонатного расплава (Рис. 1а. 1; Рис. 1в. 12).

продукты закаливания щелочно-карбонатного расплава (мас.%) – 33.8-34.8 CaO, 11.6-12.3 Na<sub>2</sub>O, 3.7-4.3 K<sub>2</sub>O, 1.7-4.1 SO<sub>3</sub>, 0-0.6 SrO, 52.4-56.0 Σ, +CO<sub>2</sub>. Визуально более темная фаза по сравнению с кальцитом (рис. 1а. 2; рис. 1б. 14; рис. 1в. 11).

периклаз MgO (мас.%) – 74.9 MgO, 10.9 Al<sub>2</sub>O<sub>3</sub>, 2.6 CaO, 1.3 TiO<sub>2</sub>, 1.0 SiO<sub>2</sub>, 0.5 Cr<sub>2</sub>O<sub>3</sub>, 92.7 Σ. Наиболее темная по цвету фаза в образце (рис. 1в. 9).

фаза Ca-Ti-Si-Al-O (мас.%) – 44.8-52.9 CaO, 26.0-42.6 TiO<sub>2</sub>, 6.6-13.0 SiO<sub>2</sub>, 1.6-3.6 Al<sub>2</sub>O<sub>3</sub>, 1.8-2.9 MgO, 1.5-2.8 PtO<sub>2</sub>(ZrO<sub>2</sub>), 0.6-1.8 Na<sub>2</sub>O, 0-0.5 K<sub>2</sub>O, 99.2-105.3 Σ. Наиболее яркая по цвету фаза в образце (рис. 1а. 5; рис. 1б. 15; рис. 1в. 13).

закалочное карбонатно-силикатное стекло рис. 2 (мас.%) – 43.3-48.4 CaO, 13.7-14.9 SiO<sub>2</sub>, 9.4-10.9 Al<sub>2</sub>O<sub>3</sub>, 2.6-3.6 Na<sub>2</sub>O, 2.2-2.9 MgO, 0.4-1.1 TiO<sub>2</sub>, 0.3-0.6 K<sub>2</sub>O, 73.6-83.0 Σ, +CO<sub>2</sub>. Выделяется в виде отдельных плоских зерен, абсолютно прозрачных и гомогенных на вид (рис. 1а. 15, 16, 17). Составы разных стекол отличаются по соотношению SiO<sub>2</sub>/ Al<sub>2</sub>O<sub>3</sub>.

В опыте без оксалата серебра и при  $P_{\text{tot}} \approx 10$  МПа были получены близкие по составу фазы, исключая карбонатно-силикатное стекло.

## Литература

- Peretyazhko I.S., Savina E.A., Khromova E.A. Minerals of the rhonite-kuratite series in paralavas from a new combustion metamorphic complex in the Choir-Nyalga basin (Central Mongolia): composition, mineral assemblages and formation conditions // Mineralogical Magazine. 2017. V. 81. No 4, p. 949-974.
- Перетяжко И.С., Савина Е.А., Хромова Е.А., Карманов Н.С., Иванов А.В. Уникальные клинкеры и паралавы нового Нилгинского пирометаморфического комплекса в Центральной Монголии: минералого-геохимические особенности, условия формирования // Петрология. 2018. Т. 26. № 2. с. 178-210.
- Савина Е.А., Перетяжко И.С., Хромова Е.А., Глушкова В.Е. Плавленые породы (клинкеры и паралавы) пирометаморфического комплекса Хамарин-Хурал-Хид, Восточная Монголия: минералогия, геохимия, процессы образования // Петрология. 2020. Т. 28. № 5. с. 482-510.
- Peretyazhko I.S., Savina E.A., Khromova E.A. Low-pressure (> 4 MPa) and high-temperature (> 1250°C) incongruent melting of marly limestone: formation of carbonate melt and melilite-nepheline paralava in the Khramaryn-Khural-Khiid combustion metamorphic complex, East Mongolia // Contributions to Mineralogy and Petrology. 2021. V. 176. No 5. p. 28